

NOUVEAUX *AMBLYSEIUS* D'ALGÉRIE  
(PARASITIFORMES, PHYTOSEIIDAE)

PAR

C. ATHIAS-HENRIOT.

Summary — *This paper reports 3 new algerian species of the genus Amblyseius Berlese. A. chergui n. sp. is an eviphid-like species of the Aberrans group ; it seems to be common on several host plants and in underground habitats in central and southern Algeria. A. rusticanus n. sp., of the Obtusus group, is closely related to A. setosus (Muma, 1955) in having but one pair of preanal setae ; the type ♀ was taken in the Algiers area, on low growing plants. Collections of A. stipulatus n. sp., of the Finlandicus group, have been made on trees and low growing plants in the northern part of the country (areas of Bône and Algiers). The appendix gives some additions to the knowledge of A. finlandicus (Oudemans) and A. cucumeris (Oudemans).*

Les abréviations utilisées ont été définies précédemment. Pour les dimensions, exprimées en microns et estimées à l'oculaire micrométrique, il devient nécessaire de tenir compte de quelques règles de la morphométrie. Les seules dimensions acceptables sont celles se rapportant à une région scléritisée. Les longueurs prises d'une soie se lisent à partir du centre de l'insertion ; celle des pattes, trop imprécise, doit être exprimée par articles ; si l'un d'eux a une base oblique par rapport au grand axe, la lecture se fait à partir du milieu de cette base. Pour la dimension idiosomale, DL, d'estimation difficile ou impossible, n'est calculé que pour comparaisons avec la littérature et doit être remplacé par Ls.

Le matériel type est déposé au Laboratoire d'Acarologie de l'École Pratique des Hautes Études, Paris.

J'exprime ma sincère gratitude aux collecteurs, cités en leur lieu et place, qui participent aux récoltes acarologiques en Algérie, ainsi qu'au Dr. G. L. VAN DER HAMMEN, du Rijksmuseum van Natuurlijke Historie, Leyde, à qui je dois communication de spécimens de la Collection OUDEMANS. La publication de la présente note a bénéficié d'une contribution de la Recherche Agronomique en Algérie.

Groupe *Aberrans* [2].

Soie L<sub>10</sub> absente ; calice de la spermathèque au moins aussi large (à l'ouverture) que longue. Chez le ♂, N = 3 ; 5 soies V ; spermatodactyle coudé.

A1 — Soies dorsales pectinées ;  $L_4 \geq 1/2$  ( $L_4-L_7$ ) ; apex du péritrème atteignant au moins le niveau de  $L_2$  ; st IV différencié. Chez la ♀, spermathèque subhémisphérique ; 8 soies V ;  $N = 3$  ; scutum ventrianal faiblement dilaté au niveau anal ;  $DL♀ = 330-340$  ;  $DL♂ = 260$ . Europe, Algérie..... *A. aberrans* (Oudemans).

A2 — Soies dorsales lisses (sauf M11) (fig. 1 A) ;  $L_4 \ll 1/2$  ( $L_4-L_7$ ) ; péritrème réduit (= 33-52 chez l'adulte) ; scutum dorsal strié longitudinalement ; st IV non différencié. Chez la ♀, spermathèque (fig. 2 D) bien plus large que longue ; 6 soies V ;  $N = 1-3$  ; scutum ventrianal dilaté au niveau anal (fig. 1 B à E).  $DL♀ = 321 \pm 10$  ;  $DL♂ = 267$  (247-287). Algérie, au sud du 36<sup>e</sup> parallèle.. *A. chergui* n. sp.

### 1. *Amblyseius chergui* n. sp.

Hyalin ; incolore à fauve. Habitus éviphidoïde. Pattes courtes, robustes, système sensoriel pédieux non différencié. Scutum dorsal strié longitudinalement (fig. 1 A). Tectum triangulaire arrondi, à bord lisse. Soies dorsales lisses (sauf M11 à partir de la protonympe PN) ; ces soies brèves, sétiformes (sauf  $L_4$  et M11 chez la larve L). A la chélicère (fig. 1 F). Dm crochu, inférieur à Df, unidenté (sauf chez le ♂) ; Df bidenté ; apex peu crochu ; pilus dentilis bien développé. Gnathosome allongé. Corniculus très long, étroit, subrectiligne. Base du tritosternum (fig. 1 B) large. Péritrème réduit. Ambulacre I abrégé. A partir de la deutonympe DN, 6 soies V chez la ♀, 5 chez le ♂. Les coefficients d'accroissement sont, du plus faible au plus fort :  $PN/L = 11,13$  ;  $♀/DN♀ = 1,17$  ;  $DN♀/PN = 1,33$ . Le rapport des sexes, pour 53 individus (adultes et DN) est de 77 % de ♀♀ et 23 % de ♂♂.

*Larve* (fig. 3 F). — Un individu. Chétotaxie dorsale caractérisée par la présence de  $L_7$  et  $M_9$ .  $L_4$  et M11 épaisses, lisses, globuleuses à l'apex.  $L_s = 174$  ;  $IDL = 180$  ;  $tI = 41$  ;  $L_4 = 48$  ; M11 = 38.

*Protonympe* (fig. 3 G) — 4 individus. Chétome dorsal comme dans les stades suivants. Stries dorsales discernables.  $S_1$ ,  $S_2$ ,  $L_7$ ,  $L_8$ ,  $D_7$  dans la cuticule interscutale.  $L_s = 195-198$  ;  $D_1 = 9-12$  ;  $D_6 = 7.5-9$  ;  $L_4 = 18$  ; M11 = 23-26 ; pédipalpe = 50-62 ; péritrème = 15-18.

*Deutonympe* — 7 ♀♀, 1 ♂. Diffère de l'adulte par (outre la taille inférieure et l'absence de la plupart des caractères sexuels secondaires) le péritrème plus long. Les sexes se distinguent par le nombre de soies V. ♀♀ :  $DL = 262$  (250-268) ;  $L_s = 247$  (244-251) ;  $tI-43$  (39-45) ;  $tIV = 45.5$  (39-48) ; pédipalpe = 62 ; péritrème = 57.5 (54-63) ;  $D_1$  et  $D_6 = 10.5$  (9-12) ;  $L_4 = 20$  (18-22) ; M11 = 26 (24-27), ♂ :  $tI = 43.5$  ;  $tIV = 42$  ; pédipalpe = 54 ; péritrème = 51.

*Femelle* (tab. 1). — Stries dorsales (fig. 1 A) profondes.  $D_m = 21$ . A la face ventrale (fig. 1 B), sternum III uni au précédent par un étroit tractus scléritisé ou (moins souvent) entièrement libre ; sternum IV oblong, portant antérieurement l'organe imst. Scléritisation postépigyniale unique, ténue. Il y a 6 soies V (chez 1 ♀ sur 35, je n'ai observé que 4 de ces soies) dont 2 à 4 sur le scutum ventrianal. La répartition des soies V sur le scutum ventrianal est plus variable que les chiffres ci-

après ne l'indiquent : par exemple, lorsque  $N = 2$ , les 2 soies gauches peuvent ne pas être appariées aux 2 soies droites ou bien  $z = \frac{3 + 1}{2}$  (fig. 1 B à E, 4 C).

N♀	1	1.5	2	2.5	3	total
n	2 (6.9 %)	3 (10.4 %)	12 (41.4 %)	11 (37.9 %)	1 (3.4 %)	29

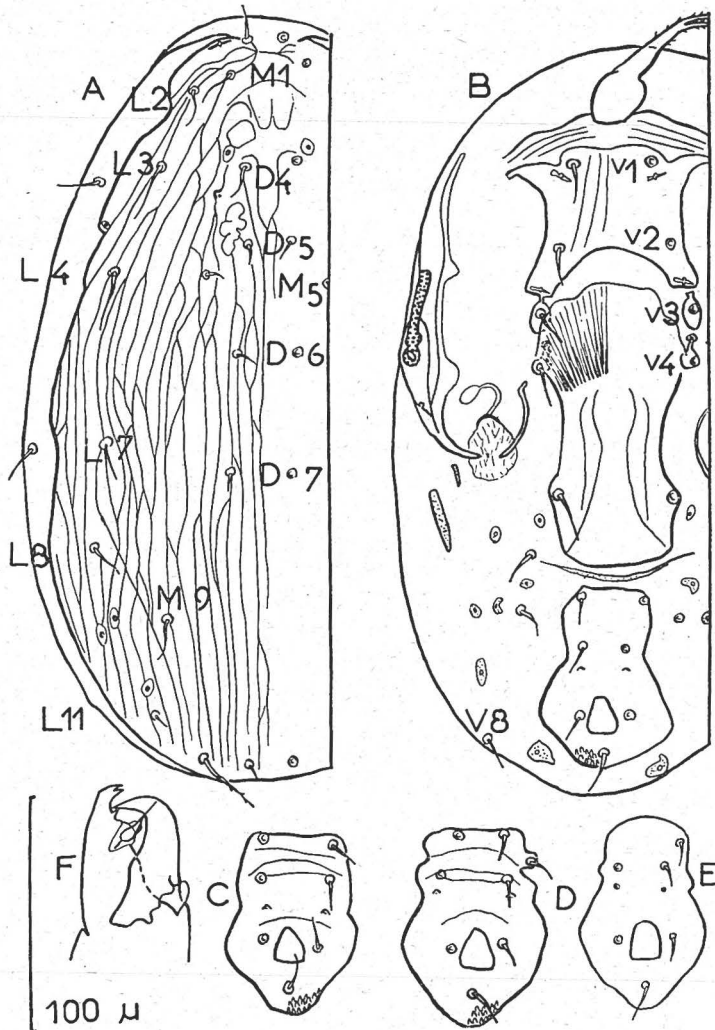


FIG. 1. — *Amblyseius chergui* n. sp., ♀; A — dorsalement; B — ventralement; C à E — scutum ventrianal; F — chélicère (l'échelle ne s'applique pas à F).

Scutum ventrianal subpiriforme, dilaté au niveau anal; sa plus grande variabilité au niveau préanal (cf. tab. 1 et fig. 1 B à E, 4 C). Organes ian ponctiformes, aussi distants que les soies préanales de la paire postérieure. Scutum métapodial principal baculiforme; l'accessoire petit, en croissant. Région poststigmatique du

scutum pérित्रémal atténuée distalement. Pérित्रème subrectiligne. Calice de la spermathèque (fig. 2 D) évasé, bien plus large que long ; canal long. I = 165-180 ; II = 150-175 ; III = 145 ; IV = 185-190.

TABLEAU I. *Amblyseius chergui*, ♀♀, dimensions.

	M	σ	100 σ/M	N
Ls .....	305,80	9,18	3,0 %	34
DL .....	321,16	10,40	3,2 %	35
tI .....	45,06	2,33	5,2 %	22
tIV .....	52,16	4,97	9,5 %	28
pédipalpe.....	69,70	(63-76)		10
vi-v2 .....	37,23	1,75	4,7 %	31
lv2 .....	49,60	2,11	4,3 %	24
GB1 .....	50,85	2,91	5,7 %	31
Lva .....	83,32	4,85	5,8 %	27
lva .....	38,90	3,78	9,7 %	»
da .....	47,56	4,82	10,1 %	25
AW .....	55,18	3,45	6,2 %	30
DI .....	12,10	1,52	12,6 %	31
D6 .....	10,98	2,02	18,4 %	25
L4 .....	24,78	2,59	10,4 %	24
MII .....	34,08	2,29	6,7 %	34
Sc. métapodial princ.....	28,50	(24-33)		20
Pérित्रème .....	43,81	4,18	9,5 %	35

*Mâle. Dimorphisme sexuel.* — 10 individus. Scutum ventrianal (fig. 3 H) libre ; 5 soies V ; N = 3. Dm inerme ; spermatodactyle (fig. 4 F) coudé, atténué distalement ; branche transverse gibbeuse à mi-longueur ; apex lobé ; une membranule dorsale à la tige.

DL = 267 (247-287) ; Ls = 256 (238-268) ; DI, D6 = 10,5 (8-12) ; L4-24 (18-27) ; MII = 30 (27-32) ; tI = 43 (42-45) ; tIV = 47 (44-54) ; pédipalpe = 66.5 (62-69) ; vi-v5 = 122 (113-126) ; lv3 = 46.5 (42-50) ; Lva = 91 (81-96) ; lva = 116 (105-135) ; da = 61 (57-66) ; pérित्रème = 41 (33-50).

*Syntypes.* — 6 ♀♀, 12 ♂♂, 3 DN, 1 PN, 1 L, *Marrubium vulgare* — 24-X-1959. — Maison Forestière de Boutin, Tilmouni (Sidi-Bel-Abbès) (OULD EL HADJ coll.) ; *paratypes*, 2 ♀♀, 1 ♂, *Lycium europeum* et 5 ♀♀, *Ruta montana* : mêmes station, date et collecteur. Autre matériel : ♀♀♂♂ nymphes, *Marrubium vulgare* (parties aériennes) et *Euphorbia* sp. (racines) — 30-VII-1959 — 2 km. au sud de Djelfa (Titteri) (AMIGUES

et GUY coll.) ; *Marrubium vulgare* et *Fraxinus oxyphylla* — 27-IV-1959 — Maison Forestière d'El Hafir, Terni (Tlemcen) (PRILLARD coll.) ; *Juglans regia* (feuilles et racines) — 27-IV-1959 — Maison Forestière du Baïou (Batna) (MARIOTTI coll.).

*Remarques.* — Cet *Amblyseius* d'aspect éviphidoïde a été trouvé en pullulation sur marrube (Boutin, Djelfa). Ce fait, joint à l'absence ou à l'extrême rareté de proies possibles (*Te tranychus nikolskii* Reck, 1953 à Djelfa) permet de soupçonner un régime surtout phytophage. Cette hypothèse est aussi suggérée par la coloration verte des échantillons du lyciet et de la rue de Boutin.

Chez *A. irregularis* (Evans, 1953), de Malaya, N♀ = 2, mais le sternum III est intégré au scutum sternal et sge IV, sti IV et st IV sont différenciés [5].

#### Groupe *Obtusus* [2].

A1-N♀ = 1 ; L11 absent..... B  
A2-N♀ = 3 ; L11 présent..... Toutes les autres espèces du groupe.  
B1-DL♀ = 420 ; Ls♀ = 400 ; lva/Lva = . 56 ; da/Lva = . 34. Type de plantes basses.  
Algérie ..... *A. rusticanus* n. sp.  
B2-DL♀ = 370-390 ; lva/Lva = . 61 ; da/Lva = . 50. Type d'agrumes. Floride.  
*A. setosus* (Muma), 1955).

#### 2. *Amblyseius rusticanus* n. sp.

*Femelle.* — Scutum dorsal lisse (fig. 2 A) ; soie D7 présente ; L11 absente ; soies M9, M11, V8 pectinées. Apex du péritrème au niveau du vertex.

A la face ventrale (fig. 2 B), angle antérieur du scutum sternal longuement et étroitement prolongé ; sternum III soudé au précédent, saillant ; organe imst sur le sternum IV. Exopodaux I-IV fusionnés ; exopodal IV soudé à la branche poststigmatique du péritrème. Scutum épigynal atténué postérieurement à v5 ; scléritisation postépigyniale unique, très ténue ; 8 soies V ; N = 1 ; scutum ventrianal ovoïde ; organe ian ponctiforme ; lian subégal à IV3. Scutum métapodial principal cunéiforme. Calice de la spermathèque (fig. 2 C) de faible dimension, subconique.

Système sensoriel pédieux formé de 5 soies lisses, non globuleuses à l'apex, sge II, sge III, sge IV, sti IV, st IV.

DL = 421 ; Ls = 398 ; lL4 = 206 ; GB1 = 79 ; lv1 = 70 ; lv3 = 87 ; v1-v3 = 76 ; Lva = 116 ; lva = 66 ; scutum métapodial principal = 30 ; I = 445 (sans ambulacre 415) ; II = 385 (348) ; IV = 529 (485) ; t IV = 180 ; D4 = 5 ; D11, L7 = 9-10 ; S1, U = 24 ; soies V (sauf V8) = 24-28 ; L2 = 30 ; soies v = 30-37 ; S2, sge II = 40 ; D1, L10 = 43-44 ; sge III = 56 ; L8, M1, sti IV = 62-64 ; st IV = 72 ; L3 = 80 ; M9, V8 = 85 ; sge IV = 95 ; L4, M11 = 105-107.

*Mâle* inconnu.

*Holotype*, 1 ♀, *Inula graveolens*. 15-X-1959. La Réghaïa (Alger), route de Ménerville, cultures, face à la forêt de *Quercus suber* ; en 1959, emblavures fortement envahies de Composacées.

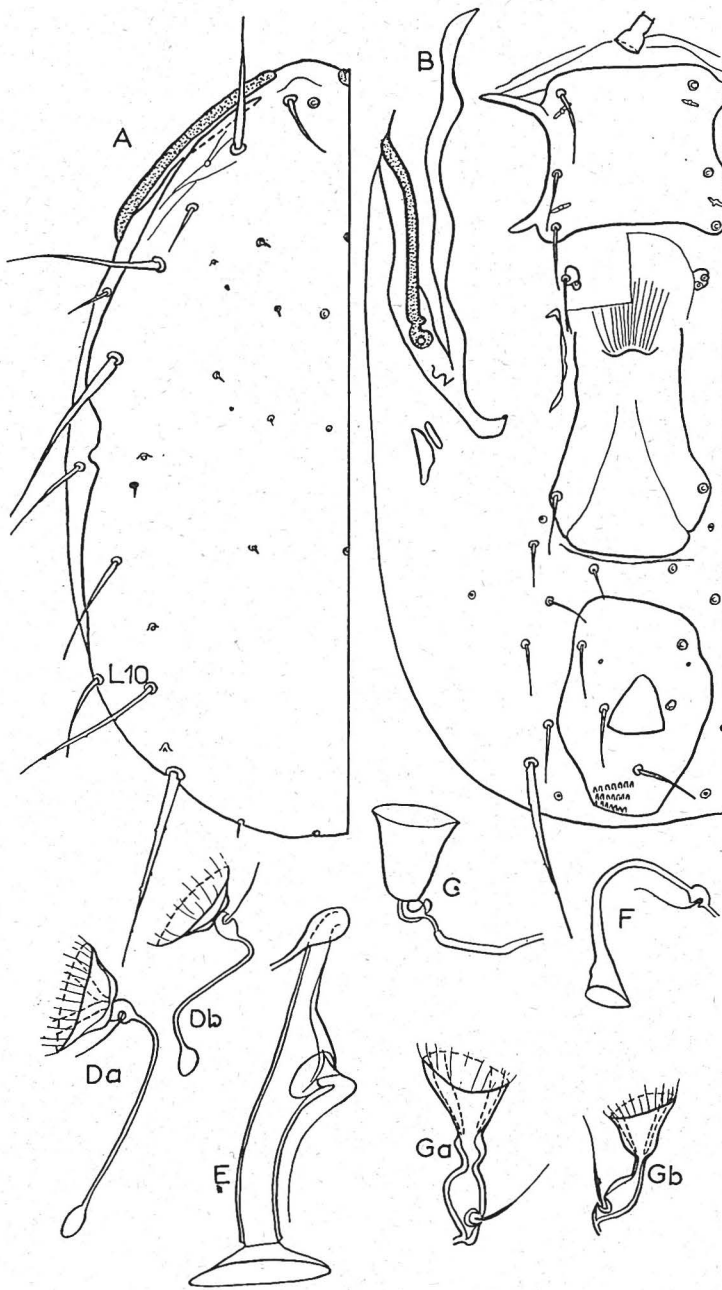


FIG. 2. — A à C — *Amblyseius rusticanus* n. sp., ♀ : A — dorsalement ; B — ventralement ; C — spermathèque ; D à G — *Amblyseius*, ♀♀, spermathèques ; D-A. *chergui* n. sp. ; E-A. *stipulatus* n. sp. ; F-A. *scutalis* (Athias-Henriot) ; G-A. *finlandicus* (Oudemans).

*Remarque systématique.* La nouvelle espèce est étroitement apparentée à *Amblyseius setosus* (Muma, 1955) [7], de Floride ; leurs caractères communs sont la présence de D7 ; l'absence de L11 ; la longueur de L8 et L3 ;  $N\varnothing = 1$  ;  $S_2 > S_1$ . *A. rusticanus* se distingue d'*A. setosus* par la taille supérieure et les rapports lva/Lva et da/Lva.

Il n'y a pas lieu de transférer ces *Amblyseius* au genre *Phytoseiulus* Evans, 1952 [6]. D'ailleurs, parmi les satellites d'*Amblyseius*, *Phytoseiulus* ne se distingue guère du genre central que par la réduction du nombre de soies V et la longueur des soies D4 à D6, différences à peine suffisantes au maintien de son statut générique.

### Groupe *Finlandicus* [2].

A ce groupe, dont 8 espèces sont précédemment mentionnées [1], appartiennent aussi *A. planetarius* (De Leon, 1959) [4] (qui diffère d'*A. peregrinus* (Muma) et d'*A. finlandicus* (Oudemans) par la taille, avec  $DL\varnothing = 282$ ), *A. mesembrinus* (Dean, 1957) [3], insuffisamment décrit, et la nouvelle espèce algérienne. La nature de celle-ci, confondue jusqu'à présent avec *A. finlandicus*, a été établie par comparaison avec le type d'OUDEMANS.

### 3. *Amblyseius stipulatus* n. sp.

*Amblyseius finlandicus* Athias-Henriot, 1958. *Bull. Soc. Hist. Nat. Afr. Nord* 49 : 34-35.

*Femelle.* — 19 individus. Scutum dorsal (fig. 3 A)<sup>1</sup> lisse, tronqué postérieurement ; marge normalement repliée ventralement entre L8 et M11. Soies dorsales lisses, sauf M11, pectinée. Niveau de l'apex du pérित्रème, M1 : 73 % ; M1-L2 : 22 % ; L2 : 5 %.

A la chélicère, Dm (= 24-26) muni d'un petit denticule et Df (fig. 3 D) de 4 denticules dans la 1/2 distale.

A la face ventrale (fig. 3 B), angle antérieur du scutum sternal longuement et étroitement prolongé (endopodal II) ; organes ista et istp peu visibles ; imst indiscernable ; sternum III intégré au scutum sternal ; peu saillant ; sternum IV ovoïde.

Scléritisation postépigyniale unique, ténue. Scutum métapodial principal (= 23-32) fusiforme à cunéiforme ; l'accessoire apparemment absent. Scutum ventrianal dilaté au niveau anal, souvent indenté (fig. 30) au niveau de sa plus grande largeur ; bord antérieur convexe ; insertion de la soie préanale paraxiale distante de ce bord ; organe ian grand, subquadrangulaire, transverse, presque perpendiculaire à l'axe du corps. Région poststigmatique des peritremalia soudée à l'exopodal IV, étroite. A la spermathèque (= 21-24) (fig. 2 E), calice tubulaire, rectiligne, canal court. Soies du système sensoriel pédieux épaissies, lisses ; l'apex atténué, arrondi. Ls = 338 (314-360) ; DL = 358 (332-375) ; D1 = 35 (29-40) ; D6 = 15 (12-17) ;

1. Dans la figure 3 A, la soie L8 a été omise ; elle est faiblement antiaxiale à une ligne L7-L10 et à mi-distance de ces deux dernières soies.

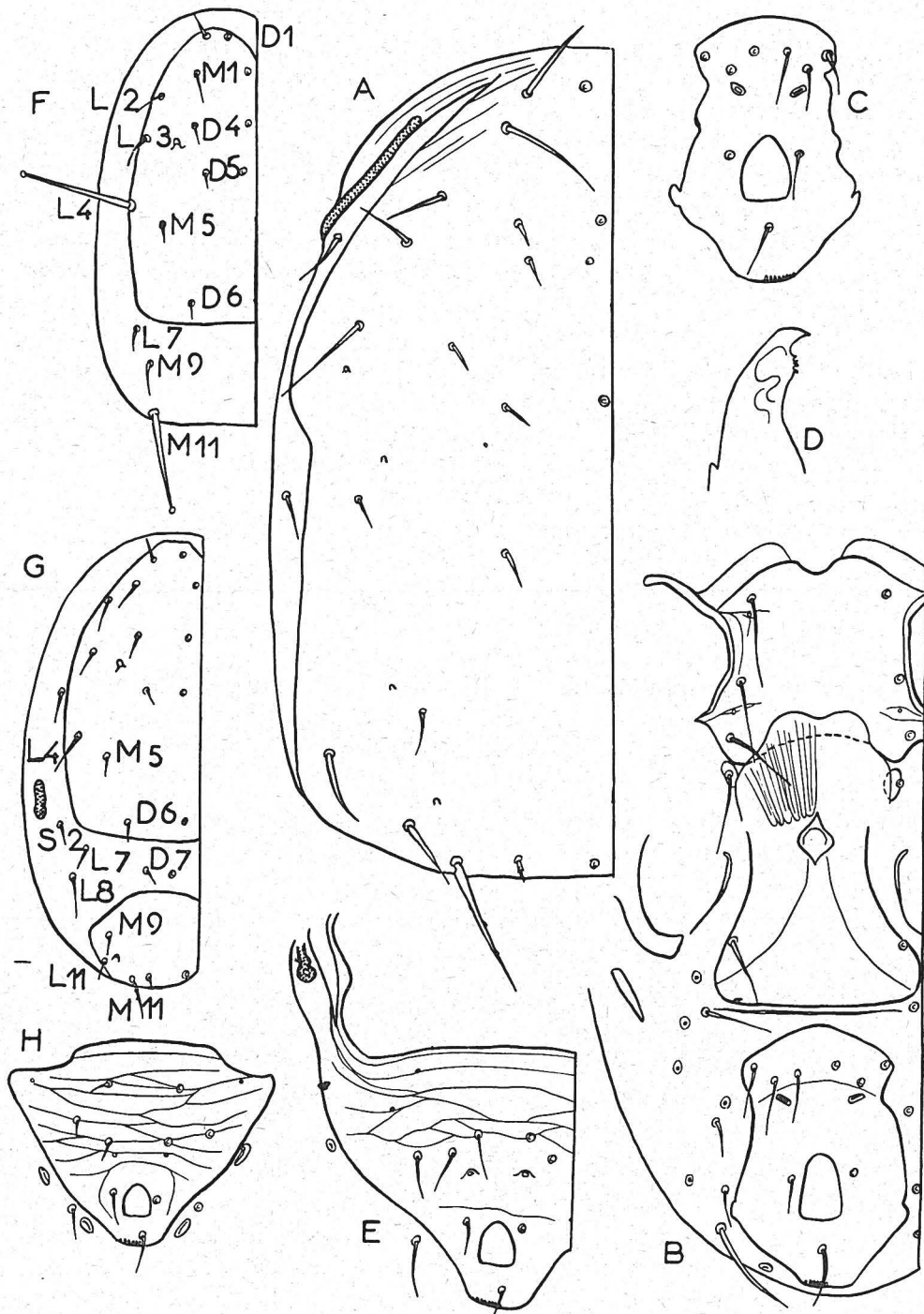


FIG. 3. — A à E — *A. stipulatus* n. sp. ; A-♀, dorsalement ; B-♀, ventralement ; C-♀, scutum ventrianal ; D-♀, Df ; E-♂, scutum ventrianal ; F à H — *A. chergui* n. sp. ; F — larve ; G — protonymphe ; H-♂, scutum ventrianal.

M<sub>I</sub>, L<sub>4</sub> = 40,5 (34-46) ; L<sub>8</sub>, S<sub>I</sub> = 21 (17-24) ; L<sub>10</sub>, L<sub>11</sub> = 25 (20-30) ; M<sub>9</sub>, S<sub>2</sub> = 18 (14-23) ; M<sub>11</sub> = 61 (55-67) ; sge II = 27 (24-30) ; sge III = 31 (27-37) ; sge IV = 39 (35-44) ; sti IV = 33 (28-37) ; st IV = 57 (52-61) ; pédipalpe = 110 (101-113) ; tI (sans ambulacre) = 115 (107-122) ; t IV = 146 (135-156) ; Lva = 115 (104-128) ; lva = 60 (52-67) ; da = 54 (49-60) ; AW = 72 (64-85) ; v<sub>I</sub>-v<sub>3</sub> = 63 (55-70) ; lv<sub>3</sub> = 81 (70-88) ; GB<sub>I</sub> = 75 (69-82) ; GVW = 96 (88-104) ; V<sub>8</sub> = 38 (32-43).

*Mâle. Dimorphisme sexuel.* — 5 individus. Dm inerme ; Df bidenté. Spermato-dactyle (fig. 4 D) coudé ; branche transverse concave ; apex en forme de cuilleron. Apex du pérित्रème, L<sub>3</sub> : 1 fois ; L<sub>2</sub>-L<sub>3</sub> : 2,5 fois ; L<sub>2</sub> : 1,5 fois. Scutum ventrianal (fig. 3 E) soudé aux scutum pérित्रémal et exopodal IV. Ls = 271-278 ; DL = 283-302 ; D<sub>I</sub>, V<sub>8</sub>, sti IV = 28-32 ; D<sub>6</sub>, S<sub>2</sub> = 14-16 ; M<sub>I</sub> = 32-37 ; M<sub>9</sub> = 17-18 ; M<sub>11</sub> = 52 (46-55) ; L<sub>4</sub>, sge IV = 37 (34-42) ; L<sub>8</sub> = 20-23 ; L<sub>10</sub>, L<sub>11</sub> = 23-28 ; S<sub>I</sub> = 18-21 ; sge II, sge III = 24-26 ; st IV = 46-49 ; v<sub>I</sub>-v<sub>5</sub> = 116-122 ; lv<sub>3</sub> = 59-63 ; Lva = 101-119 ; da = 69 (63-76) ; distance entre les soies préanales de paire antiaxiale = 61-70 ; t I, pédipalpe = 95-99 ; t IV = 100-125.

Rapport des sexes, pour 24 adultes : 80 % de ♀♀ et 20 % de ♂♂.

*Syntypes*, 10 ♀♀, 1 ♂ Morris (Bône), verger d'agrumes — avril 1959 — *Citrus* spp. (orangers Valencia et citronniers Euréka) (ESTÉOULLE coll.). Autre matériel, ♀♀♂♂, Bône et Duzerville (Bône) — avril 1959 — *Vitis vinifera* et *Gossypium* sp. (ESTÉOULLE coll.) ; Alger, jardin d'agrément mal entretenu à Maison-Carrée — 14 à 21-X-1956 — *Phaseolus coccineus* et Station Botanique de l'École Nationale d'Agriculture — 4-VII-1959 — *Pennisetum* sp. ; Aïn-Taya (Alger), verger d'agrumes négligé — IV à VI 1955 — *Citrus aurantium* ; Baba Ali (Alger), bord d'oued — 16-VI-1956 — *Rubus ulmifolius*.

*Principaux caractères diagnostiques.* — (♀♀) (tab. 2). Le spermato-dactyle présente peu d'intérêt diagnostique (cf. fig. 4 D, E ; fig. 2 E in [1]), contrairement à la spermathèque (cf. fig. 2 E, F, G).

#### APPENDICE.

##### *Amblyseius finlandicus* (Oudemans, 1915).

Observations effectuées sur les spécimens de la collection OUDEMANS étiquetés.

— *Seiulus finlandicus* Oudemans, 1915, *Salix caprea*, Åbo, Finland, 23-8-1911, cat. n° 1, 2 ♀♀ ;

— *Seiulus finlandicus* Oudemans 1915, mandibel van het ♂, *Prunus domestica*, Åbo, Finland, october 1923, Dr. A. R. SPOOF, cat. n° 2.

Chez la ♀, chélicère comme chez *stipulatus* ; Dm porte un très petit denticule ; Df 4-denté. Scutum dorsal (fig. 4 A) faiblement réticulé ; imst indiscernable ; scutum métapodial accessoire (fig. 4 B) apparemment absent. Calice de la spermathèque (fig. 2 G) conique ; vésicule proximale grande, fusiforme. Soies dorsomarginales un peu épaissies. Soies sensorielles pédieuses mousses, mais non globuleuses à l'apex.

TABLEAU 2. Genre *Amblyseius*, groupe *Finlandicus*, ♀♀.

	<i>scutalis</i> (Athias)	<i>finlandicus</i> (Ouds.)	<i>stipulatus</i> n. sp.
Ls .....	313	331	338
DI .....	22-30	30-40	
D6 .....	41-45	18-20	12-17
M9 .....	32-36	23-27	14-23
MII .....	65-70	45-54	55-67
L4 .....	55-60	35-45	
stIV .....	80	52-60	
apex du péritrème.....	L2	L3	MI

DL = 348-354 ; Ls = 331 ; I = 341-351 (sans ambulacre 311-317) ; II = 287-290 (261-267) ; III = 290-293 (259-268) ; IV = 378-387 (344-360) ; t I (sans ambulacre) = 100.5 ; t II et t III = 91-93 ; t IV = 122-131 ; pédipalpe = 94-104 ; péritrème = 91 ; DI = 33 ; D6 = 18-20 ; MI = 36-40 ; L2 = 29-30 ; L3 = 32 ; L4 = 42-45 ; L7 = 21 ; L8 = 27 ; L10, L11, M9 = 23-27 ; MII = 45-54 ; SI = 18-22 ; S2 = 15-18 ; li4 = 171-183 ; soies v décroissantes antéro-postérieurement de 39 à 30 ; soies V de 27 à 15 ; V8 = 33-36 ; Lva = 100 ; lva = 61-62 ; da = 42-44 ; AW = 73-75 ; st IV = 54-57 ; sti IV = 33 ; sge IV = 36-38 ; sge II = 24-26 ; scutum métapodial principal = 25-26 ; GB1 = 85-87 ; GVW = 99-102 ; lvi = 57-60 ; lv3 = 75-76 ; vi-v3 = 60-62 ; Dm = 21-24 ; lDI = 19-32.

Chez le ♂ Dm et Df unidentés ; spermatodactyle (fig. 4 E) coudé, atténué distalement, avec un lobule terminal.

*Amblyseius scutalis* (Athias-Henriot, 1958).

*Addition à la description* [1]. Chez la ♀, calice de la spermathèque (fig. 2 F) tubulaire, très long, incurvé, évasé apicalement.

*Amblyseius cucumeris* (Oudemans, 1930).

La synonymie d'*A. bellinus* (Womersley, 1954) [8] et d'*A. cucumeris* paraît bien établie. J'ai pu tester l'identité de l'espèce algérienne, rapportée à *bellinus* [2] avec *cucumeris*. En Algérie, cet *Amblyseius* est un des phytoséiides planticoles les plus répandus.

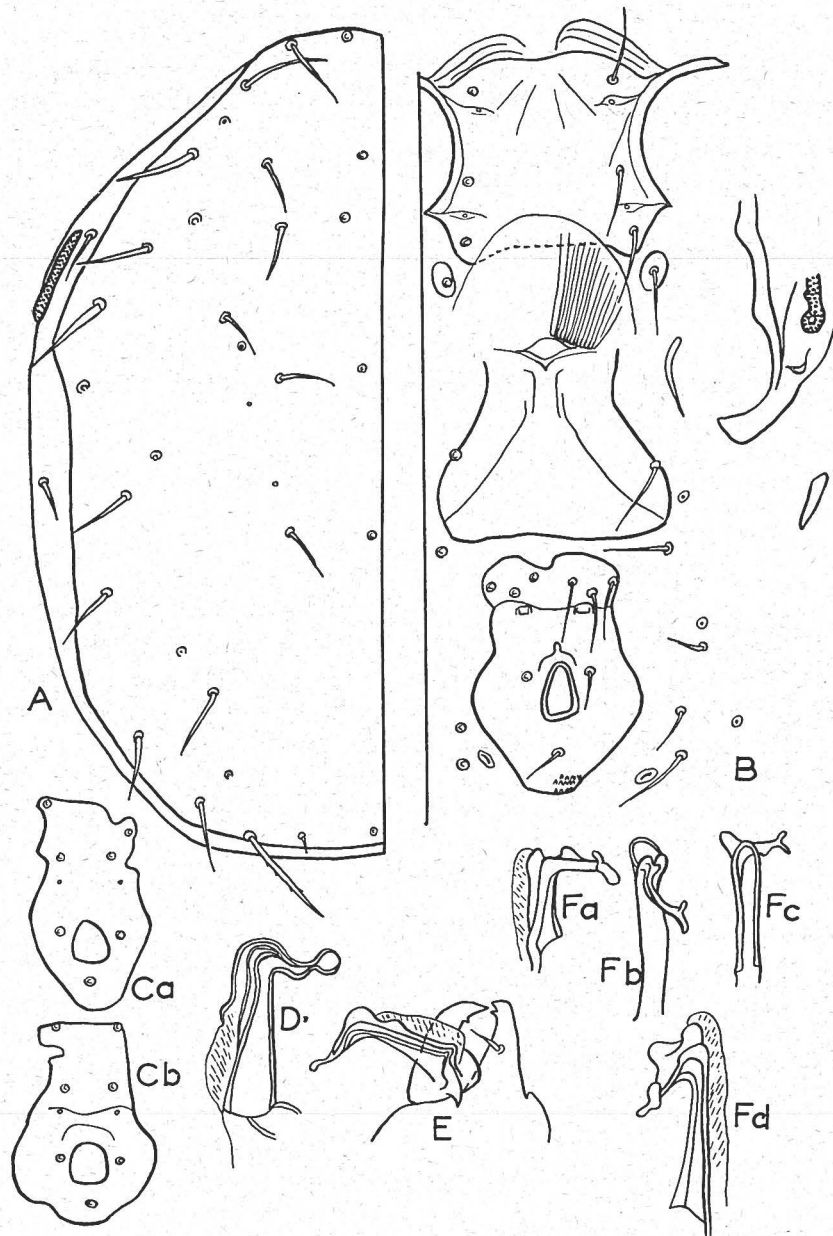


FIG. 4. — A, B, E — *Amblyseius finlandicus* (Oudemans); A-♀, dorsalement; B-♀, ventralement; E-♂, chélicère; C, F — *A. chergui* n. sp.; C-♀, scutum ventrianal; F-♂, spermatodactyle; D-A, *stipulatus* n. sp., ♂, spermatodactyle.

PRINCIPALES RÉFÉRENCES

- [1] ATHIAS-HENRIOT (C.), 1958. — Contribution à la connaissance du genre *Typhlodromus* Scheuten. (Acariens Parasitiformes, *Phytoseiidae*). Description de deux espèces nouvelles d'Algérie et clé des espèces du groupe *Finlandicus* — *Rev. Path. Vég. et Ent. Agr. France* 37 (2) : 179-186, fig. 1-2.
- [2] — 1959. — Acariens planticoles d'Algérie. *Bull. Acad. R. Belg., Cl. Sci.* (5) 45 (2) : 130-153, fig. 1-4.
- [3] DEAN (H. A.), 1957. — Predators of *Oligonychus pratensis* (Banks) : *Tetranychidae* — *Ann. Ent. Soc. Amer.* 50 : 164-165.
- [4] DE LEON (D.), 1959. — Seven new *Typhlodromus* from Mexico with collection notes on three other species (Acarina : *Phytoseiidae*) — *Fla. Ent.* 42 (3) : 113-121, fig. 1-25.
- [5] EVANS (G. O.), 1953. — On some mites of the genus *Typhlodromus* Scheuten 1857, from E. Asia — *Ann. et Mag. Nat. Hist.* 6 (66) : 449-467, fig. 1-10.
- [6] GARMAN (P.), 1958. — New species belonging to the genera *Amblyseius* and *Amblyseiopsis* with keys to *Amblyseius*, *Amblyseiopsis* and *Phytoseiulus* — *Ann. Ent. Soc. Amer.* 51 (1) : 69-79, fig. 1-17.
- [7] MUMA (M. H.), 1955. — *Phytoseiidae* (Acarina) associated with citrus in Florida. — *Ibid.*, 48 : 262-272, fig. 1-33.
- [8] WOMERSLEY (H.), 1954. — Species of the subfamily *Phytoseiinae* (Acarina : *Laelaptidae*) from Australia — *Austral. J. Zool.* 2 (1) : 169-191, fig. 1-12.
-